



# БИООРГАНИЧЕСКАЯ ХИМИЯ

том 7 \* №12 \* 1981

УДК 577.11:595.3.088:547.993

## МОЛЕКУЛЯРНАЯ ОРГАНИЗАЦИЯ ЭЛЕКТРОВОЗБУДИМОЙ МЕМБРАНЫ

П. СОЛЮБИЛИЗАЦИЯ И ЧАСТИЧНАЯ ОЧИСТКА РЕЦЕПТОРОВ ТЕТРОДОТОКСИНА ИЗ АКСОНАЛЬНОЙ МЕМБРАНЫ КРАБА

*Коваленко В. А., Пашков В. Н., Гришин Е. В.*

Институт биоорганической химии им. М. М. Шемякина  
Академии наук СССР, Москва

Исследована возможность использования тритона X-100, дезоксихолата и холата натрия, дигитонина, октил- $\beta$ -глюкопиранозида и луброла РХ для солюбилизации рецепторов тетродотоксина из аксональной мембранны камчатского краба. Обнаружена высокая лабильность солюбилизованных рецепторов тетродотоксина. Солюбилизация тритоном X-100, дезоксихолатом натрия и октил- $\beta$ -глюкопиранозидом сопровождается полной инактивацией рецепторов, в то время как холат натрия и дигитонин солюбилизируют их недостаточно эффективно. Наиболее подходит для солюбилизации луброл РХ. Показано, что в присутствии тетродотоксина инактивация его рецепторов замедляется. При фракционировании аксональных мембран, солюбилизованных лубролом РХ, гель-хроматографией, седиментацией в градиенте концентрации сахарозы и ионообменной хроматографией на DEAE-сепарозе обнаружена корреляция между рецептором тетродотоксина и белками с молекулярным весом 77 000, 85 000 и 230 000. Седиментационный анализ выявил существование двух типов рецепторов тетродотоксина с коэффициентами седиментации  $\sim 9,5S$  и  $\sim 16S$ .

Исследование молекулярного механизма передачи нервного возбуждения предусматривает выделение и характеристику компонентов ионных каналов, в первую очередь быстрых натриевых каналов, играющих ключевую роль в функционировании электровозбудимых мембран. Именно эти каналы являются мишенью для большой группы нейротоксинов. Для ряда нейротоксинов (тетродотоксин, сакситоксин, токсины скорпионов и анемон) в препаратах электровозбудимых мембран уже обнаружены специфичные рецепторы, представляющие собой функционально важные компоненты  $\text{Na}^+$ -каналов [1, 2]. Эти нейротоксины сейчас служат целями инструментами для исследования молекулярной организации  $\text{Na}^+$ -каналов.

В настоящее время наибольший прогресс достигнут в изучении рецепторов тетродотоксина (TTX) и сакситоксина (STX). Эти рецепторы, общие для обоих токсинов, расположены на внешней стороне мембранны и, скорее всего, входят в состав структуры, непосредственно образующей ионный канал. Хотя рецепторы TTX удалось солюбилизировать еще в 1972 г. [3, 4], их дальнейшая очистка и биохимический анализ тормозились высокой лабильностью солюбилизованных препаратов [5]. Существенные успехи в очистке рецепторов TTX из электрической ткани рыб были достигнуты в 1978 г., когда было найдено, что стабильность солюби-

Принятые сокращения: TTX – тетродотоксин, STX – сакситоксин, SDS – додецилсульфат натрия.

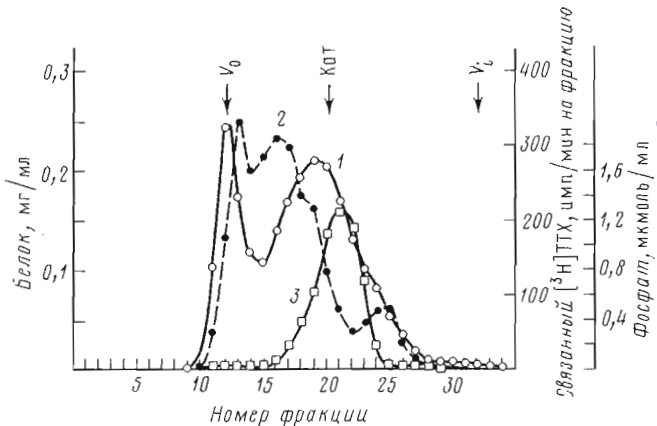


Рис. 1. Кривые элюции белка (1), рецепторов ТТХ (2) и фосфолипидов (3) (определенна в отдельном опыте в отсутствие лецитина в элюирующем растворе) при хроматографии на сефарозе CL-6B мембранных солюбилизированных лубролом РХ (колонка  $1 \times 4$  см) уравновешена с раствором, содержащим 0,1% луброла РХ, лецитин ( $0,16$  моль/моль луброла),  $100$  мМ холинхлорид,  $20$  мМ трис-НСl (рН  $7,8$ ) и  $5 \cdot 10^{-8}$  М [<sup>3</sup>H]TTX; наносили  $1,2$  мл солюбилизата, содержащего  $1,8$  мг/мл белка,  $1\%$  луброла РХ и  $10^{-7}$  М [<sup>3</sup>H]TTX; скорость элюции  $14$  мл/ч; объем фракций  $1$  мл). На хроматограмме отмечен выход голубого дектрана ( $V_0$ ), каталазы (Кат) и ДНФ-аланина ( $V_1$ )

лизированных рецепторов значительно возрастает, если в среде присутствуют лецитин или некоторые другие фосфолипиды [5, 6]. Этот способ стабилизации позволил недавно очистить рецепторы STX из мембранных скелетных мышц [7].

В предыдущей работе [8] сообщалось о выделении и характеристике фракций аксональной мембраны камчатского краба, включая определение в них содержания рецепторов ТТХ. Было показано, что эти мембранные пригодны для выделения компонентов ионных каналов. Настоящая работа посвящена исследованию условий солюбилизации аксональной мембраны, стабильности солюбилизированных рецепторов ТТХ и первым этапам выделения этих рецепторов. Выделение мембранный фракции из нервов краба, использованной в большинстве экспериментов, проводилось на основе метода, описанного в работе [8], который был несколько модифицирован для более полного использования рецепторных компонентов. Эта фракция на  $1$  мг белка связывает  $\sim 2,5$  пмоль [<sup>3</sup>H]TTX и содержит  $1,5-1,6$  мкмоль липидного фосфата.

Для солюбилизации рецепторов ТТХ были испробованы некоторые из наиболее часто применяемых детергентов. Тритон X-100 ( $1-1,5\%$ ), дезоксихолат натрия ( $0,5-1\%$ ) и октил- $\beta$ -глюкопиранозид ( $1\%$ ) солюбилизируют до  $70\%$  мембранный белка, но полностью инактивируют рецептор даже в присутствии  $10^{-7}$  М ТТХ. Удаление дезоксихолата натрия диализом не приводило к восстановлению способности препарата связывать ТТХ. Дигитонин ( $2\%$ ) позволил солюбилизировать только  $36\%$  белка и приблизительно такую же долю рецепторов ТТХ. Более эффективным был холат натрия ( $2-2,5\%$ ), который солюбилизовывал до  $50\%$  белка и рецепторной активности. Фракционирование холатного экстракта с помощью сульфата аммония вызывало полную инактивацию рецепторов. Обработка аксональных мембран  $8\%$  раствором *n*-бутанола при рН  $8,0$  приводила к солюбилизации только  $23\%$  белка и полностью инактивировала рецепторы ТТХ.

Наиболее удовлетворительный результат был получен при использовании луброла РХ ( $1-1,5\%$ ) в трис-НСl-буфере при рН  $8,0$ . В этих условиях степень солюбилизации белка достигала  $60\%$ , а рецептора ТТХ —  $70\%$ . В полученных таким методом растворах при  $4^{\circ}\text{C}$  и рН  $7,8$  половина рецепторов ТТХ инактивируется примерно за  $2$  ч, что указывает на большую

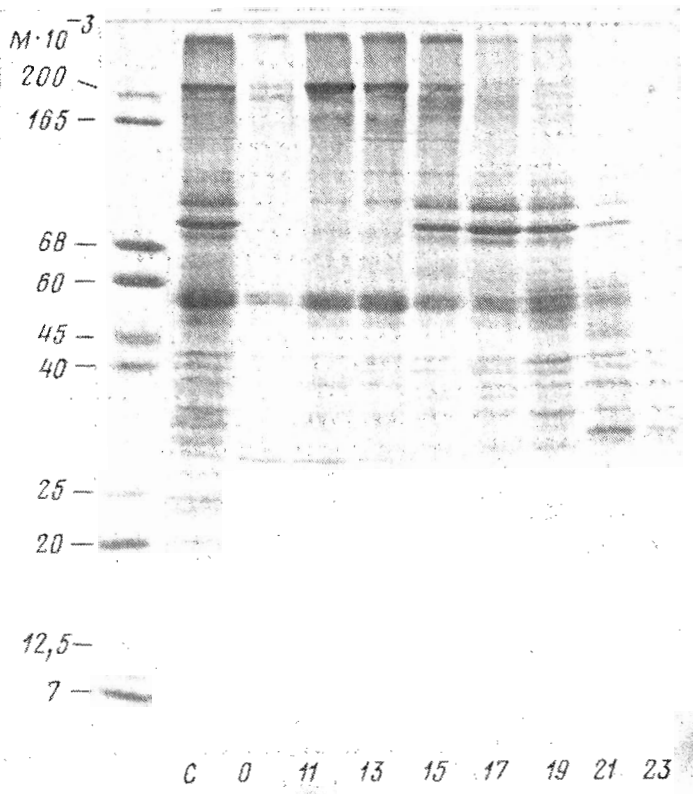
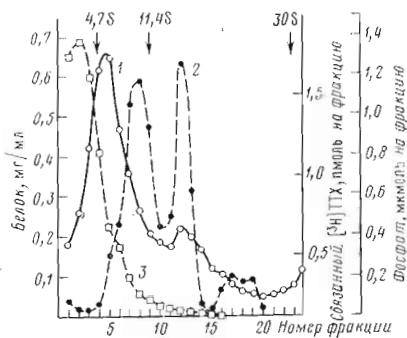


Рис. 2. SDS-электрофорез хроматографических фракций в градиентном (10–17%) поликариламидном геле. Нумерация отвечает хроматографическим фракциям на рис. 1; *C* – исходный солюбилизат; *O* – осадок после центрифугирования солюбилизата (1 ч при 100 000 *g*); слева – смесь стандартных белков (в скобках  $M \cdot 10^3$ ): миозин (200),  $\beta$ -субъединица РНК-полимеразы (165), сывороточный альбумин быка (68), катализ (60), овалбумин (45), альдолаза (40);  $\alpha$ -химотрипсиноген (25),  $\gamma$ -кристаллин (20), цитохром *c* (12,5), цитотоксин II из яда кобры (7).

лабильность рецепторов аксональной мембранны краба по сравнению с рецепторами электрической ткани [5, 6]. Время жизни рецепторов немного повышается в присутствии таких солей, как 0,1–0,2 М NaCl, NaF, холин-хлорид. На стабильность солюбилизованных рецепторов TTX в нефракционированном солюбилизате не влияла замена трис-буфера на фосфатный, а также введение дитиотреита (2 mM), глицерина (10%), сахарозы (10–20%), аргинина (10 mM), тиаминдифосфата (5 mM),  $\alpha$ -токоферола (1 mM), EDTA (1 mM), фенилметилсульфонилфторида (0,1 mM), алкалоидных нейротоксинов вератридина (0,1 mM) и акопитина (0,1 mM), а также местного анестетика новокаина (5 mM). Фосфорилирование аксональных мембран краба перед их солюбилизацией с помощью ATP [9] или неорганического фосфата [10], как и присутствие ATP в солюбилизате, также не изменяет кинетику инактивации рецепторов TTX. Известно, что примеси в коммерческих препаратах неионных детергентов, способные окислять сульфогидрильные группы, могут влиять на свойства солюбилизованных белков [11]. Однако очистка луброла РХ от таких примесей не привела к изменению стабильности рецепторов TTX.

Стабильность рецепторов TTX значительно возрастает, если солюбилизацию проводить в присутствии  $5 \cdot 10^{-8}$ – $10^{-7}$  М TTX. В этом случае время полуинактивации при 0–1° С составляло около 20–30 ч. Что касается лепитина, то его введение существенно не стабилизирует рецепторы в процессе их солюбилизации (ср. [6]), однако было полезно на последующих

Рис. 3. Кривые седиментации белка (1), рецепторов ТТХ (2) и фосфолипидов (3) при седиментации солюбилизированных мембран в сахарозном градиенте (5–20% сахарозы в растворе, содержащем 20 мМ три-НCl (рН 7,8), 0,1% луброла РХ, лецитин (0,16 моль/моль луброла) и  $5 \cdot 10^{-8}$  М [ $^3$ H]TTX; центрифугирование в роторе SW-41 (Beckman, США), 8,5 ч, 20°C, 39 000 об/мин). Стрелками указано положение стандартов: сывороточного альбумина быка (4,7S), катализы (11,4S) и малой субъединицы рибосом *E. coli* (30S)



стадиях очистки (ср. [12, 13]). При введении ионов  $\text{Ca}^{2+}$  до концентрации 5 мМ инактивация солюбилизированных рецепторов ТТХ аксональной мембраны краба ускоряется независимо от присутствия лецитина (ср. [14]). Время жизни солюбилизированных рецепторов можно увеличить в 10 раз, понижая концентрацию луброла РХ путем его сорбции на смоле Amberlite XAD-4 [15]. Однако при этом изменяются хроматографические свойства рецепторов, вероятно, за счет их агрегации между собой и/или с другими мембранными компонентами. Хотя этот эффект мешал принятным нами методам очистки, такой способ стабилизации представляется весьма перспективным и может найти применение при разработке других способов выделения рецепторов. Способом стабилизации рецепторов ТТХ, наиболее пригодным для процедур фракционирования, описанных в данной работе, оказалось введение ТТХ как в солюбилизат, так и во все растворы на последующих стадиях очистки. Кроме того, для уменьшения скорости инактивации на всех стадиях очистки использовались растворы, содержащие не более 0,1% луброла РХ и лецитин (0,16 моль/моль луброла).

В качестве одного из наиболее быстрых способов фракционирования солюбилизированных мембран была выбрана гель-хроматография. Даные разделения луброльного экстракта на сефарозе CL-6B (рис. 1) показывают, что рецептор ТТХ присутствует в двух фракциях (общий выход рецептора составляет  $\sim 50\%$ ). Первая фракция выходит из колонки практически одновременно со свободным объемом, а вторая в максимуме соответствует глобулярным белкам с радиусом Стокса 100–120 Å [16]. Эти данные можно использовать лишь для очень приблизительной оценки молекулярного веса рецептора, так как в большинстве случаев хроматографическое поведение мембранных белков зависит от количества связанныго дегтергента, асимметрии молекул и степени их агрегации. Если сравнить результаты хроматографии и SDS-электрофореза (рис. 2), видно, что в первом случае кажущийся молекулярный вес белков заметно больше. Подавляющая доля фосфолипидов при гель-хроматографии четко отделяется от основной массы белка и рецепторов ТТХ.

При седиментации в градиенте сахарозы аксональных мембран, солюбилизированных лубролом, наблюдаются две фракции, связывающие ТТХ (рис. 3). Если припять калибровку по стандартным белкам, одна из этих фракций имеет коэффициент седиментации  $\sim 9,5S$ , а другая  $\sim 16S$  и совпадает с минорным пиком белка. Хотя седиментационное фракционирование продолжительнее хроматографического, инактивация рецепторов при нем меньше ( $<30\%$ ). Этим методом достигается примерно 10-кратная очистка рецепторов ТТХ. Фракция 16S имеет относительно простой полипептидный состав. Доминирующими являются белки, имеющие молекулярный вес 77 000, 85 000, 70 000, 200 000 и 230 000. Из них во фракции 9,5S присутствуют также в качестве доминирующих белки с молекулярным весом 77 000, 85 000, 200 000 и 230 000, однако в целом эта фракция более гетерогенна (см. рис. 4).

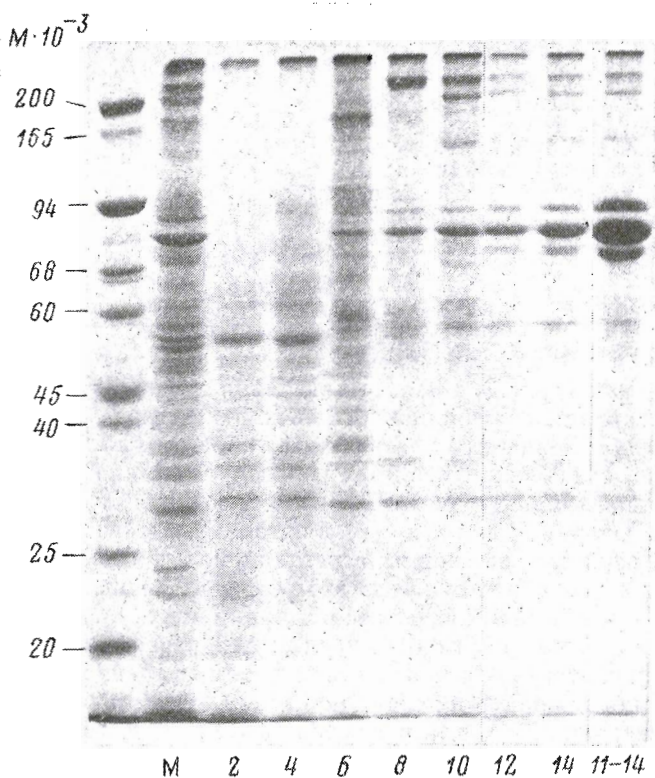


Рис. 4. SDS-электрофорез в 10% полиакриламидном геле фракций, полученных при седиментации солюбилизированных мембран (нумерация соответствует фракциям на рис. 3;  $M$  – исходные мембранные; обозначения стандартных белков как на рис. 2; полоса 94 – фосфорилаза А)

Для выделения рецепторов TTX из электрической ткани Агню и сотр. [6] весьма эффективно применили ионообменную хроматографию на DEAE-сепадексе в присутствии лецитина, но в наших экспериментах аналогичная процедура приводила к полной инактивации рецепторов. Только при добавлении  $5 \cdot 10^{-8}$  М TTX в солюбилизат и элюирующие раствором, содержащим 0,1 М NaCl, 20 мМ трис-HCl (рН 7,6), 0,1% луброла их доля не сорбировалась на колонке. Было найдено, что для хроматографии солюбилизированных белков аксональной мембраны более подходящим сорбентом является DEAE-сепароза CL-6B, уравновешенная с раствором, содержащим 0,1 М NaCl, 20 мМ трис-HCl (рН 7,6), 0,1% луброла РХ и лецитин (0,16 моль/моль луброла). В этом случае рецепторы TTX сорбируются практически полностью и элюируются раствором 0,5 М NaCl (рис. 5). Однако и в этом случае инактивация рецепторов достигала 70%.

По молекулярным весам основных белков фракция, элюируемая раствором 0,5 М NaCl, идентична фракциям 9,5S и 16S, полученным при седиментационном разделении. В ней присутствуют белки с  $M$  30 000, 70 000, 77 000, 85 000, 95 000 и 230 000 (рис. 6).

Пропускание солюбилизированных препаратов через колонку с конканавалин-А-сепарозой не приводит к сорбции рецепторов TTX на этом геле, что, по-видимому, указывает на отсутствие в молекуле рецептора TTX углеводных компонентов, специфичных к конканавалину А, но не исключает тем не менее гликопротеидную природу рецепторов (ср. [7]).

Таким образом, результаты настоящей работы свидетельствуют о возможности солюбилизации рецепторов TTX аксональной мембранны камчат-

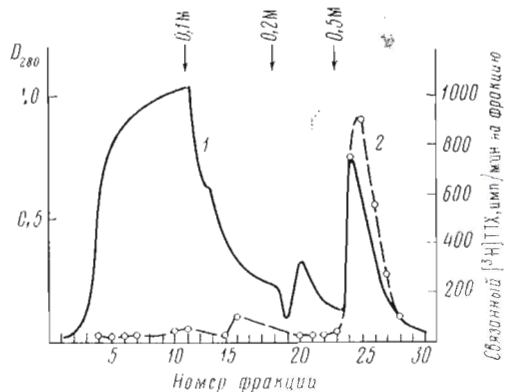


Рис. 5. Кривые поглощения при 280 нм (1) и связывания ТТХ (2) при ионообменной хроматографии солюбилизованных мембран на DEAE-сепарозе CL-6B (колонка  $1,5 \times 1,5$  см) уравновешена раствором, содержащим 20 мМ трис-HCl ( $\text{pH } 7,6$ ), 100 мМ NaCl, 0,1% луброла, лецитин (0,16 моль/моль луброла); нанесена смесь 7 мл солюбилизата, содержащего 2,3 мг/мл белка и  $10^{-7}$  М  $[^3\text{H}]$ TTX, с равным объемом уравновешивающего раствора; скорость напесения и элюции 15 мл/ч; элюирующие растворы содержали 20 мМ трис-HCl ( $\text{pH } 7,6$ ), 0,1% луброла РХ, лецитин (0,16 моль/моль луброла),  $5 \cdot 10^{-8}$  М  $[^3\text{H}]$ TTX и указанные концентрации NaCl)

ского краба, однако они менее стабильны, чем рецепторы из электрической ткани угря [5, 6]. Главной причиной быстрой инактивации солюбилизованных рецепторов ТТХ из нервов краба является, по-видимому, не протеолиз и окисление сульфогидрильных групп или липидов, а нарушения взаимодействия рецепторного белка с липидным окружением. В пользу этого говорит зависимость скорости инактивации от типа используемого дегидрента, а также данные о реконструкции  $\text{Na}^+$ -канала [17, 18] и стабилизирующем действии различных липидов [5]. Причины более высокой лабильности рецепторов ТТХ нервов краба пока не ясны, но они, по-видимому, связаны с видовыми особенностями. Известны, например, большие видовые различия в устойчивости  $\text{Na}^+$ - $\text{K}^+$ -ATP-аз к инактивирующему действию дегидрентов [19].

Сравнение гидродинамических параметров рецепторов ТТХ из нервов краба с рецепторами из электрической ткани угря [6, 20], мозга [14, 18, 21] и скелетных мышц [13] показывает, что один из рецепторных компонентов по своему коэффициенту седиментации совпадает с рецепторами ТТХ или STX, полученными ранее [13, 14], тогда как компонент с коэффициентом седиментации  $16S$  в прежних работах не наблюдался. Следует, однако, иметь в виду, что ранее полученные данные существенно отличаются между собой (от  $8-9S$  у рецепторов из электрической ткани угря [6, 20] до  $\sim 12S$  у рецепторов из мозга крысы [21]). Пока не ясно, чем определяются эти различия: видовыми особенностями объектов или методическими причинами. Имеющиеся немногочисленные сведения о белковом составе рецепторов ТТХ и STX дают некоторые основания для предположения о видовых различиях структуры рецепторов. Так, рецепторы ТТХ, выделенные из электрической ткани угря, имели основной белковый компонент с  $M = 260\,000$  [20], тогда как очищенные рецепторы STX из скелетных мышц состояли из белков с  $M = 53\,000$ ,  $60\,000$  и  $64\,000$  [7]. В нашей работе обнаруживается корреляция между содержанием рецепторов ТТХ и по крайней мере нескольких белков с  $M = 77\,000$ ,  $85\,000$  и  $230\,000$ . Для однозначной идентификации компонентов рецепторов ТТХ необходима их более полная очистка и стабилизация в солюбилизированном состоянии. Интересно, что один из белков, содержащийся в рецепторных фракциях, совпадает по молекулярному весу ( $77\,000$ ) с белком, присутствующим в

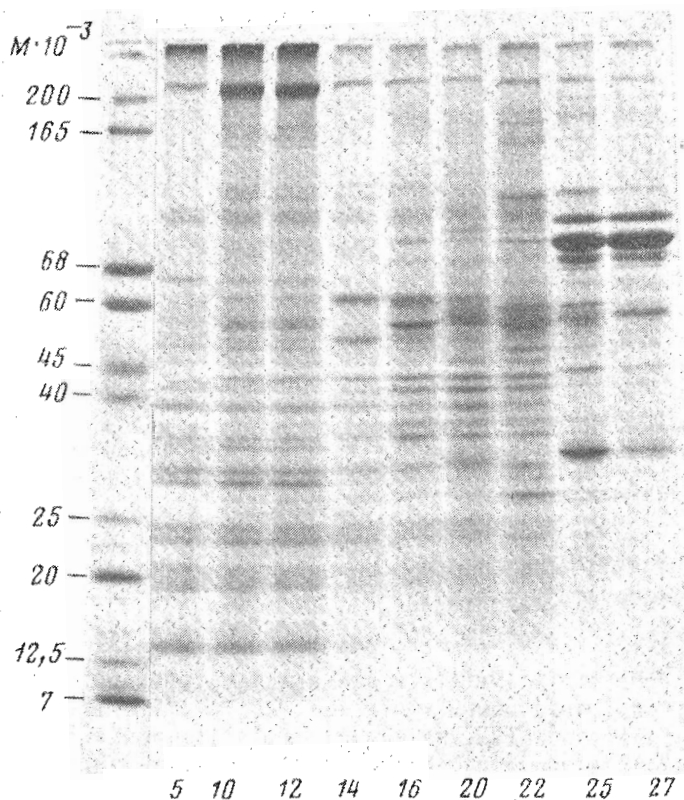


Рис. 6. SDS-электрофорез хроматографических фракций на пластинке градиентного (10–17%) полиакриламидного геля (нумерация соответствует фракциям на рис. 5; смесь стандартных белков та же, что на рис. 2)

аксональной мембране краба и других электровозбудимых мембранных, который, согласно нашим данным [22], специфично взаимодействует с токсином скорпиона.

#### Экспериментальная часть

Лецитин получен из куриных яиц по методу Синглтона и сотр. [23]. Препараты [<sup>3</sup>H]TTX имели удельную радиоактивность 0,4–0,8 Ки/ммоль [8]. Рабочий раствор хранился в замороженном состоянии и использовался в течение 1–3 мес. В работе без дополнительной очистки использовали дезоксихолат натрия, холат натрия, холинхлорид (Sigma, США), дигитонин (Fluka, Швейцария), октил- $\beta$ -глюкопиранозид (Serva, ФРГ).

Растворы луброла RX, триплона X-100 и сахарозы деионизовали на смоле Ag501×8D (Bio-Rad, США). Деионизованные растворы детергентов хранили в замороженном виде и перед использованием подвергали повторной деионизации. Проводимость 20% раствора луброла RX обычно составляла 3–8 мкСм. Такой раствор содержал около 20% исходного количества примесей, окисляющих сульфогидрильные группы [11]. Дальнейшая очистка луброла RX хроматографией на силикагеле [11] приводила к практическому полному удалению этих примесей.

Нервы получали из ходильных ног и клешней камчатских крабов *Paralithodes camtschatica*, выловленных в зал. Петра Великого в сентябре–октябре 1979 г. и январе 1980 г. После препарирования нервы сохраняли в холодной морской воде до 1 ч, а затем замораживали в жидком азоте. Замороженные препараты хранили в закрытых полиэтиленовых флаконах при  $-50^{\circ}\text{C}$ .

*Выделение мембран* проводили, используя модификацию метода, описанного в предыдущей статье [8]. К гомогенату нервов добавляли сахарозу до концентрации 28% и затем проводили центрифугирование в течение 30 мин со скоростью 18 000 об./мин (Sorvall, США; ротор SS-34). Супернатант разбавляли раствором 10 mM трис-HCl (рН 7,8) так, чтобы концентрация сахарозы составляла 0,32 M, и центрифugировали 90 мин при 32 000 об./мин (Beckman, США; ротор 35). Осадок, супензированный в растворе 20 mM трис-HCl (рН 7,8; концентрация белка 5–8 мг/мл), хранили при 0° С и использовали в течение недели.

*Солюбилизацию* проводили при 2–4° С в сосудах с магнитной мешалкой или в плотно закрытых пробирках на микровстряхивателе в течение 10–30 мин с последующим центрифугированием (60 мин при 100 000g). Детергент вводили в виде 20% раствора. Смесь лецитина с лубролом РХ приготовляли, растворяя лецитин в 20% растворе детергента. Дигитонин использовали в виде озвученного 10% раствора. В большинстве экспериментов концентрация белка составляла 3,5 мг/мл.

*Содержание рецепторов TTX в солюбилизованных препаратах* определяли быстрой гель-фильтрацией [24]. Порции исследуемого раствора (по 0,4 мл), содержащего  $10^{-7}$  М [ $^3\text{H}$ ]TTX или  $10^{-7}$  М [ $^3\text{H}$ ]TTX+ $4 \cdot 10^{-6}$  М TTX, наносили на пластиковые микроколонки PD-2 (Pharmacia, Швеция), заполненные 2,5 мл биогеля P6 (100–200 меш), уравновешенного раствором 20 mM трис-HCl (рН 7,8). Колонки, подвешенные в нитроцеллюлозных пробирках, центрифугировали 20 с (время разгона  $\sim 10$  с) на настольной центрифуге Т-22 (Janetzki, ГДР; 2500 об./мин). Элюат (1,2–1,3 мл) смешивали с 10 мл сцинтиллятора тритозол [25]. Выход свободной метки не превышал 1% от нанесенной на колонку. Выход белка составлял от 70 до 100%. Неспецифичное (метка не вытесняется TTX) связывание [ $^3\text{H}$ ]TTX не превышало 20% в случае исходного солюбилизата и практически отсутствовало с очищенными фракциями. Для полного вытеснения ранее добавленного [ $^3\text{H}$ ]TTX избытком TTX препарат выдерживали 1 ч перед нанесением на микроколонки. Все операции проводили при 4° С.

*Определение белка в мембранах и солюбилизатах, определение фосфора* и *электрофорез* проводили, как описано в работе [8]. Для определения белка во фракциях с его низкой концентрацией применяли осаждение 7% трихлоруксусной кислотой в присутствии 0,015% дезоксихолата натрия [26]. Конечный объем измеряемой пробы составлял 0,83 мл, что при использовании полумикрокювет позволяло определять до 1 мкг белка. Образцы для электрофореза приготавливали, встряхивая смесь водного раствора белка с оптимальным объемом метанола и двумя объемами хлороформа около 2 мин и затем центрифугируя. После удаления слоя хлороформа к остатку добавляли ацетон, белок осаждали центрифугированием и растворяли в буфере для образцов. Такой способ подготовки образцов особенно удобен для фракций с низкой концентрацией белка, так как денатурированный белок концентрируется на границе раздела фаз. Последующая обработка ацетоном позволяет количественно осадить белок и удалить посторонние вещества (сахароза, компоненты буфера и т. д.).

*Определение луброла РХ* осуществляли методом, близким к описанному в работе [27]. Для ускорения растворения осадка детергента вместо раствора 0,5 M HCl использовали смесь 11 M HCl – n-бутанол, 1 : 5.

*Удаление луброла РХ* из смоле Amberlite XAD-4 (Serva, ФРГ) проводили в колонке PD-10 (Pharmacia, Швеция), наполненной 3 г смолы (0,3–1 мм), которая предварительно была промыта изопропанолом, водой и раствором 20 mM трис-HCl (рН 7,6). После двухкратного пропускания со скоростью 100 мл/ч 8 мл раствора, содержащего 0,5–1% детергента, концентрация последнего уменьшалась примерно в 50 раз. Выход рецепторов с колонки был количественным, но задерживалось около 10% общего белка.

*Фосфорилирование мембран* осуществляли их инкубированием в тече-

ние 10 мин при 4° С в растворе, содержащем 10 мМ NaCl, 100 мМ KCl, 5 мМ MgCl<sub>2</sub>, 1 мМ оуабапн, 20 мМ трис-HCl (рН 7,4), 5 мкМ АТР или 10 мкМ фосфат. Реакционную смесь разбавляли в 2–3 раза раствором, содержащим 20 мМ трис-HCl (рН 7,7) и 50 мМ NaF, после чего мембранны осаждали центрифугированием (1 ч) при 100 000g. Солюбилизацию мембран проводили в этом же растворе с помощью 1% луброла РХ.

Авторы выражают благодарность акад. Ю. А. Овчинникову за постоянное внимание к данной работе.

#### ЛИТЕРАТУРА

1. Ritchie J. M. Tetrodotoxin and saxitoxin and the sodium channels of excitable tissue.—Trends Pharmacol. Sci., 1980, v. 1, p. 275–278.
2. Catterall W. A. Neurotoxins that act on voltage-sensitive sodium channels in excitable membranes.—Ann. Rev. Pharmacol., 1980, v. 20, p. 15–43.
3. Henderson R., Wang J. H. Solubilization of a specific tetrodotoxin binding component from garfish olfactory nerve membrane.—Biochemistry, 1972, v. 11, № 24, p. 4565–4569.
4. Benzer T., Raftery M. A. Solubilization and partial characterization of the tetrodotoxin binding component from nerve axon.—Biochem. and Biophys. Res. Commun., 1973, v. 51, № 4, p. 939–944.
5. Agnew W. S., Raftery M. A. Solubilized tetrodotoxin binding component from the electroplax of *Electrophorus electricus*. Stability as a function of mixed lipid-detergent micelle composition.—Biochemistry, 1979, v. 18, № 10, p. 1912–1919.
6. Agnew W. S., Levinson S. R., Branson J. S., Raftery M. A. Purification of the tetrodotoxin binding component associated with the voltage-sensitive sodium channel from *Electrophorus electricus* electroplax membranes.—Proc. Nat. Acad. Sci. USA, 1978, v. 75, № 6, p. 2606–2610.
7. Barchi R. L., Cohen S. A., Murphy L. E. Purification from rat sarcolemma of the saxitoxin binding component of the excitable membrane sodium channel.—Proc. Nat. Acad. Sci. USA, 1980, v. 77, № 3, p. 1306–1310.
8. Коваленко В. А., Пашков В. Н., Гришин Е. В. Молекулярная организация электровозбудимой мембранны. I. Выделение фракций плазматической мембранны из нервов камчатского краба и их характеристика.—Биоорган. химия, 1984, т. 7, № 12, с. 1813–1827.
9. Schoffeniels S., Dandritosse G. Protein phosphorylation and sodium conductance in nerve membrane.—Proc. Nat. Acad. Sci. USA, 1980, v. 77, № 2, p. 812–816.
10. Sieghart W., Forn J., Greengard P. Ca<sup>2+</sup> and cyclic AMP regulation phosphorylation of same two membrane-associated proteins specific to nerve tissue.—Proc. Nat. Acad. Sci. USA, 1979, v. 76, № 5, p. 2475–2479.
11. Chang H. W., Bock E. Pitfalls in the use of commercial nonionic detergents for the solubilization of integral membrane proteins: sulphydryl oxidizing contaminants and their elimination.—Anal. Biochem., 1980, v. 104, № 1, p. 112–117.
12. Krueger B. K., Ratzlaff R. W., Strichartz G. R., Blaustein M. P. Saxitoxin binding to synaptosomes, membranes, and solubilized binding sites from rat brain.—J. Membrane Biol., 1979, v. 50, № 3/4, p. 287–310.
13. Barchi R. L., Murphy L. E. Size characterization of the solubilized sodium channel saxitoxin binding site from mammalian sarcolemma.—Biochim. et biophys. acta, 1980, v. 597, № 2, p. 391–398.
14. Catterall W. A., Morrow C. S., Harshorne R. P. Neurotoxin binding to receptor sites associated with voltage-sensitive sodium channels in intact, lysed, and detergent-solubilized brain membranes.—J. Biol. Chem., 1979, v. 254, № 22, p. 11379–11387.
15. Cheetham P. S. J. Removal of triton X-100 from aqueous solution using Amberlite XAD-2.—Anal. Biochem., 1979, v. 92, № 2, p. 447–452.
16. Ackers G. K. A new calibration procedure for gel filtration columns.—J. Biol. Chem., 1967, v. 242, № 13, p. 3237–3238.
17. Villegas R., Villegas G. M., Barnola F. V., Racker E. Incorporation of the sodium channel of lobster nerve into artificial liposomes.—Biochem. and Biophys. Res. Commun., 1977, v. 79, № 1, p. 210–217.
18. Goldin S. M., Rhoden V., Hess E. J. Molecular characterization, reconstitution, and «transport-specific fractionation» of the saxitoxin binding protein/Na<sup>+</sup> gate of mammalian brain.—Proc. Nat. Acad. Sci. USA, 1980, v. 77, № 11, p. 6884–6888.
19. Brotherus J. R., Jost P. C., Griffith O. H., Hokin L. E. Detergent inactivation of sodium- and potassium-activated adenosinetriphosphatase of the electric eel.—Biochemistry, 1979, v. 18, № 23, p. 5043–5050.
20. Agnew W. S., Moore A. S., Levinson S. R., Raftery M. A. Identification of a large molecular weight peptide associated with a tetrodotoxin binding protein from the electroplax of *Electrophorus electricus*.—Biochem. and Biophys. Res. Commun., 1980, v. 92, № 3, p. 860–866.

21. Hartshorne R. P., Coppersmith J., Catterall W. A. Size characteristics of the solubilized saxitoxin receptor of the voltage-sensitive sodium channel from rat brain.—J. Biol. Chem., 1980, v. 255, № 22, p. 10572–10575.
22. Гришин Е. В., Солдатов Н. М., Овчинников Ю. А. Природа мембранных рецепторов пейротоксина из яда скорпиона.—Биоорганическая химия, 1980, т. 6, № 6, с. 914–922.
23. Singleton W. S., Gray M. S., Brown M. L., White J. L. Chromatographically homogeneous lecithin from egg phospholipids.—J. Amer. Oil Chem. Soc., 1965, v. 42, № 1, p. 53–56.
24. Levinson S. R., Curatalo C. J., Reed J., Raftery M. A. A rapid and precise assay for tetrodotoxin binding to detergent extracts of excitable tissues.—Anal. Biochem., 1979, v. 99, № 1, p. 72–84.
25. Fricke U. Tritosol: A new scintillation cocktail based on triton X-100.—Anal. Biochem., 1975, v. 63, № 2, p. 555–558.
26. Bensadoun A., Weinstein D. Assay of proteins in the presence of interfering materials.—Anal. Biochem., 1976, v. 70, № 1, p. 241–250.
27. Jones P., Nickles G. Characterization of non-ionic detergents of the polyethoxylated type from water systems. I. Evaluation of Amberlite XAD-4 resin as an extractant for polyethoxylated material.—J. Chromatography, 1978, v. 156, № 1, p. 87–97.

Поступила в редакцию  
22.IV.1981

**MOLECULAR ORGANIZATION OF ELECTRICALLY EXCITABLE MEMBRANE.  
II. SOLUBILIZATION AND PARTIAL PURIFICATION OF TETRODOTOXIN  
RECEPTORS FROM CRAB AXON MEMBRANE**

KOVALENKO V. A., PASHKOV V. N., GRISHIN E. V.

*M. M. Shemyakin Institute of Bioorganic Chemistry, Academy  
of Sciences of the USSR, Moscow*

A solubilization of the tetrodotoxin-binding component from Kamchatka crab axon membrane by means of Triton X-100, sodium deoxycholate, sodium cholate, digitonin, octyl- $\beta$ -glucopyranoside and Lubrol PX was studied. The tetrodotoxin receptor was largely inactivated by detergents such as Triton X-100, sodium deoxycholate and octyl- $\beta$ -glucopyranoside, whereas extraction of the tetrodotoxin-binding component by sodium cholate and digitonin was not efficient. Lubrol PX appeared to be the most suitable detergent for solubilization. The receptor inactivation was found to be slowed down in the presence of tetrodotoxin. Partial purification of the tetrodotoxin-binding component was carried out by means of gel filtration, ion exchange chromatography and sucrose density gradient sedimentation. The sedimentation behavior of the tetrodotoxin receptor indicated the presence of two forms of tetrodotoxin-binding component with apparent sedimentation coefficients  $\sim 9.5$  and  $\sim 16$  S.